

**В.Г. САЛЬНИК**, канд. техн. наук,  
ЗАТ "Славутський комбінат "Будфарфор"

## ОСОБЛИВОСТІ СТРУКТУРИ ТА ВЛАСТИВОСТЕЙ ВОДНИХ СИСТЕМ ГЛИНИ SANTON-L

Наведено характеристики складу, дисперсності та властивостей поверхні глини Santon-L (Німеччина), що визначають особливості коагуляційного структуроутворення, плинності та литтєвих властивостей водних систем, що застосовуються в технології кераміки.

Characteristics of composition, dispersion and surface properties of clay Santon-L (Germany), which determine the features of coagulation structure formation, fluidity and castings properties of water systems, which are used in the ceramic technology is given.

**Вступ.** Для виготовлення санітарних керамічних виробів застосовують метод литва в пористих формах шлікерних мас – дисперсних систем з вологістю 30 – 33 мас. % , значну частину яких складають глини та каоліни родовищ України [1]. Склади мас постійно вдосконалюються відповідно з розвитком технології та впровадженням нового обладнання [2], при цьому враховуються рекомендації провідних європейських компаній-виробників щодо застосування окремих видів імпортової сировини [3, 4]. Зрозуміло, що практичне застосування нової для вітчизняних підприємств сировини [5], в тому числі глинистої, потребує поглибленого вивчення її складу, структуроутворення та властивостей, що стало предметом нашої роботи.

**Хіміко-мінералогічний склад дослідних глин.** Основними об'єктами дослідження (табл. 1) стали глини Santon-L родовища Німеччини та Вєско-Гранітик Андрійовського родовища Донецької області, що широко застосовується у вітчизняному виробництві санітарної кераміки.

Таблиця 1

Хімічний склад дослідних глин

| Глина          | Вміст оксидів, мас. % |                                |                                |                  |      |      |                 |                   |                  |        |
|----------------|-----------------------|--------------------------------|--------------------------------|------------------|------|------|-----------------|-------------------|------------------|--------|
|                | SiO <sub>2</sub>      | Al <sub>2</sub> O <sub>3</sub> | Fe <sub>2</sub> O <sub>3</sub> | TiO <sub>2</sub> | CaO  | MgO  | SO <sub>3</sub> | Na <sub>2</sub> O | K <sub>2</sub> O | в.п.п. |
| Вєско-Гранітик | 57,12                 | 28,29                          | 0,98                           | 1,39             | 0,80 | 0,48 | 0,05            | 0,42              | 2,04             | 8,12   |
| Santon-L       | 57,60                 | 25,18                          | 1,13                           | 1,43             | 2,30 | 0,22 | 0,34            | 0,70              | 1,69             | 9,45   |

Аналіз хімічного складу дослідних глин свідчить (табл. 1), що Santon-L відрізняється від Веско-Гранітик дещо меншим вмістом  $Al_2O_3$  і більшою кількістю лужноземельних оксидів  $CaO + MgO$  – 2,52 проти 1,28 мас. %, більшим загальним вмістом лужних і лужноземельних оксидів – 7,21 проти 3,74 мас. %. Згідно ДСТУ Б В.2.7-60-97 за мінералогічним складом дослідні глини відносяться до групи гідрослюдиисто-каолінітових, при цьому Santon-L у порів'язанні з Веско-Гранітик містить менше каолініту та гідрослюди, відзначаючись суттєвим включенням польового шпату (альбіту) і кальциту (табл. 2).

Таблиця 2

## Мінералогічний склад дослідних глин

| Глина          | Вміст породоутворюючих мінералів, мас. % |            |       |        |         |                   |       |
|----------------|--|------------|-------|--------|---------|-------------------|-------|
|                | каолініт                                 | гідрослюда | кварц | альбіт | кальцит | гідроксида заліза | рутіл |
| Веско-Гранітик | 54,1                                     | 17,3       | 24,4  | -      | 1,4     | 1,1               | 1,3   |
| Santon-L       | 47,4                                     | 14,2       | 24,9  | 6,0    | 4,1     | 1,2               | 1,3   |

За дисперсністю глина Santon-L відрізняється від Веско-Гранітик значно меншим вмістом тонкодисперсних частинок  $< 0,001$  мм – 53,05 проти 70,40 мас. % та більшою кількістю грубодисперсних частинок  $> 0,01$  мм – 16,80 проти 4,85 мас. % (табл. 3). За результатами аналізу властивостей поверхні встановлено, що дослідна проба глини Santon-L відрізняється від Веско-Гранітик дещо меншим змочуванням при натіканні полярною (водою) і неполярною (бензолом) рідниною при суттєво меншій ефективній питомій поверхні (табл. 4).

Таблиця 3

## Дисперсність сумішей глини

| Глина          | Вміст (%) фракцій частинок (мм) |             |              |               |             |
|----------------|---------------------------------|-------------|--------------|---------------|-------------|
|                | 1,00 - 0,06                     | 0,06 - 0,01 | 0,01 - 0,005 | 0,005 - 0,001 | менше 0,001 |
| Веско-Гранітик | 1,63                            | 3,22        | 6,75         | 18,00         | 70,40       |
| Santon-L       | 2,10                            | 14,70       | 0,35         | 20,80         | 53,05       |

Таблиця 4

## Властивості поверхні дослідних глин

| Глина          | Змочування при натіканні |        | Коефіцієнт ліофільності | Ефективна питома поверхня, $m^2/g$ |        |
|----------------|--------------------------|--------|-------------------------|------------------------------------|--------|
|                | вода                     | бензол |                         | вода                               | бензол |
| Веско-Гранітик | 0,053                    | 0,276  | 0,193                   | 52,39                              | 14,68  |
| Santon-L       | 0,045                    | 0,200  | 0,227                   | 19,60                              | 10,31  |

**Коагуляційна структура водних глинистих систем.** Проведений нами аналіз дозволив виявити особливості деформаційних процесів, що характеризують коагуляційне структуроутворення дослідних водних систем [6 – 8].

Встановлено (табл. 5 та табл. 6), що суспензії Santon-L і Веско-Гранітик за розвитком швидкої еластичної  $\epsilon_0'$ , повільної еластичної  $\epsilon_2'$  та пластичної  $\epsilon_1'\tau$  деформацій відносяться до IV-го структурно-механічного типу, коли  $\epsilon_1'\tau > \epsilon_0' > \epsilon_2'$ , проте існує суттєва різниця в кількісних значеннях та співвідношенні різно-видів деформації в залежності від концентрації дисперсної фази або вологості.

Таблиця 5

Структурно-механічні характеристики суспензій глини

| Код проби<br>(вологість,<br>мас. %) | модуль<br>швидкої<br>еластичної<br>деформації<br>$E_1 \cdot 10^{-4}$ ,<br>Па | модуль<br>повільної ела-<br>стичної дефор-<br>мації<br>$E_2 \cdot 10^{-4}$ ,<br>Па | умовна<br>стати-<br>чна<br>межа<br>плин-<br>ності<br>$R_{к1}$ ,<br>Па | найбі-<br>льша<br>пласти-<br>чна<br>в'язкість<br>$\eta_1 \cdot 10^{-2}$ ,<br>Па·с | елас-<br>тич-<br>ність<br>$\lambda$ | статична<br>пластич-<br>ність<br>$\frac{Pk_1 \cdot 10^2}{h_1}$ ,<br>с <sup>-1</sup> | період<br>істинної<br>релакса-<br>ції<br>$\theta_1$ , с | умовний<br>модуль<br>деформації<br>$E_\epsilon \cdot 10^{-3}$ ,<br>ерг/м <sup>3</sup> |
|-------------------------------------|--|--|---|---|-------------------------------------|---|---|---|
| Веско-<br>Гранітик<br>(40,0)        | 9,02   | 15,40  | 44,7  | 16,02   | 0,37                                | 2,79  | 281,5   | 1,25  |
| (55,0)                              | 7,45   | 13,05  | 37,4  | 14,2  | 0,36                                | 2,63  | 299,0   | 1,09  |
| (67,5)                              | 3,20   | 6,87   | 23,2  | 7,5   | 0,32                                | 3,09  | 344,0   | 0,56  |
| Santon-L<br>(40,0)                  | 7,32   | 14,80  | 24,6  | 45,6  | 0,33                                | 0,54  | 931,0   | 2,36  |
| (50,0)                              | 2,40   | 14,08  | 12,6  | 20,7  | 0,15                                | 0,61  | 1009,8  | 1,03  |
| (55,0)                              | 2,10   | 11,8   | 10,6  | 16,3  | 0,15                                | 0,65  | 914,0   | 0,85  |

Так в однаковому інтервалі збільшення вологості з 40,0 до 55,0 мас. % водна система Santon-L у порівнянні з Веско-Гранітик характеризується значно більшим зростанням швидкої еластичної деформації  $\epsilon_0'$  – в 3,5 рази (з  $2,73 \cdot 10^8$  до  $9,52 \cdot 10^8$ ) проти 1,2 рази (з  $2,22 \cdot 10^8$  до  $2,68 \cdot 10^8$ ) та пластичної деформації  $\epsilon_1'\tau$  - в 2,8 рази (з  $4,38 \cdot 10^8$  до  $12,27 \cdot 10^8$ ) проти 1,1 рази (з  $12,46 \cdot 10^8$  до  $14,08 \cdot 10^8$ ).

Щодо реологічних характеристик – у вказаному інтервалі збільшення вологості водна система Santon-L у порівнянні з Веско-Гранітик характеризується більшим зменшенням умовної динамічної межі плинності  $R_{к2}$  – в 1,6

рази (з 57,5 до 34,8) проти 1,2 рази (з 97,0 до 78,68) та бінгамівської в'язкості  $\eta_m^X$  - в 1,8 рази (з  $0,087 \cdot 10^{-2}$  до  $0,048 \cdot 10^{-2}$ ) проти 1,3 рази (з  $0,144 \cdot 10^{-2}$  до  $0,111 \cdot 10^{-2}$ ), більшим зростанням плинності – в 1,8 рази проти 1,3.

Таблиця 6

Реологічні показники суспензій глини

| Код проби<br>(вологість, мас. %) | Умовна<br>динамічна<br>межа плинності<br>$R_{K2}$ , Па | Найменша пластична<br>в'язкість $\eta_m^X \cdot 10^{-2}$ ,<br>Па·с | Динамічна<br>пластичність<br>$\Psi \cdot 10^4$ ,<br>с <sup>-1</sup> | Плинність<br>$1/\eta_m^X \cdot 10^2$ |
|----------------------------------|--|--|---|--------------------------------------|
| Веско-Гранітик                   |  |  |   |                                      |
| (40,0)                           | 97,0   | 0,144  | 6,74  | 6,94                                 |
| (55,0)                           | 78,6   | 0,111  | 7,10  | 9,01                                 |
| (67,5)                           | 46,8   | 0,057  | 8,20  | 17,54                                |
| Santon-L                         |  |  |   |                                      |
| (40,0)                           | 57,5   | 0,087  | 6,60  | 11,49                                |
| (50,0)                           | 38,1   | 0,055  | 6,93  | 18,20                                |
| (55,0)                           | 34,8   | 0,048  | 7,30  | 20,83                                |

За однакової концентрації дисперсної фази  $C = 45$  мас.% та вологості водна система Santon-L відзначається більшим розвитком швидкої еластичної деформації  $\epsilon_0'$  ( $9,52 \cdot 10^8$  проти  $2,68 \cdot 10^8$ ), повільної еластичної деформації  $\epsilon_2'$  ( $1,69 \cdot 10^8$  проти  $1,53 \cdot 10^8$ ) і коефіцієнтом стійкості  $K_y = \epsilon_0'/C$  (0,90 проти 0,32), меншим розвитком пластичної деформації  $\epsilon_1' \tau$  ( $12,27 \cdot 10^8$  проти  $14,08 \cdot 10^8$ ), меншими еластичністю (0,15 проти 0,36) та умовним модулем деформації  $E_\epsilon$  ( $0,85 \cdot 10^{-3}$  проти  $1,09 \cdot 10^{-3}$ ), більшим періодом істинної релаксації.

За реологічними характеристиками при однаковій концентрації дисперсної фази  $C = 45$  мас. % та вологості водна система Santon-L відзначається вдвічі меншими показниками умовної динамічної межі плинності  $R_{K2}$  та бінгамівської в'язкості  $\eta_m^X$ , вдвічі більшим показником плинності.

**Технологічні властивості глинистих суспензій.** Отримані результати технологічних тестувань погоджуються з викладеним вище аналізом структурно-механічних і реологічних характеристик. Встановлено, що суспензія глини Santon-L відрізняється від Веско-Гранітик параметрами процесу розрідження (рисунок). Очевидно, що суспензія Santon-L у порівнянні з Веско-Гранітик досягає необхідної технологічної плинності 5 – 8 с при суттєво більшій концентрації дисперсної фази – 42,0 – 45,0 проти 30,0 – 34,0 мас. %.

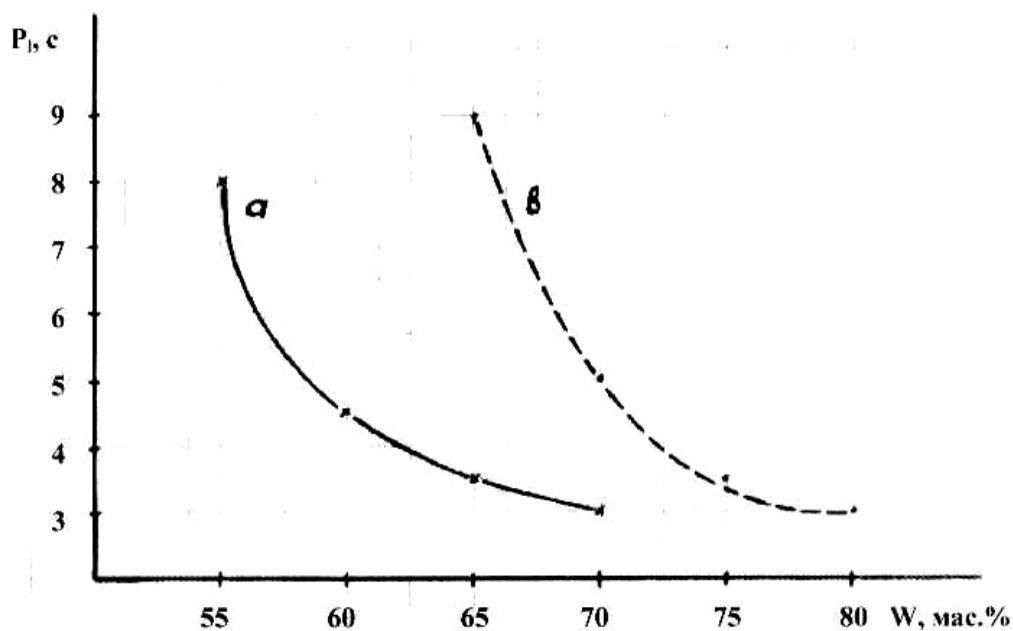


Рисунок – Залежність плинності від вологості суспензій Santon-L (а) і Веско-Гранітик (в)

Проведені тестування литтєвих властивостей суспензій при вихідній вологості, що забезпечує технологічну плинність, показали (табл. 7), що відливки з Santon-L в гіпсові форми або під тиском через однаковий час відрізняються від Веско-Гранітик більшою концентрацією (СДФ) та масою (МДФ) дисперсної фази.

Таблиця 7

Литтєві властивості глинистих суспензій

| Глина<br>(вологість,<br>мас.%) | Плинність, с<br>(віскозиметр<br>Енглера) |                 | Коефіцієнт<br>загусності | Концентрація та маса<br>дисперсної фази при<br>литві в гіпсовій<br>формі (через 10 хв.) |        | Концентрація та маса<br>дисперсної фази при<br>литві під тиском<br>(через 15 хв.) |        |
|--------------------------------|--|-----------------|--------------------------|---|--------|---|--------|
|                                | через<br>30 с                            | через<br>30 хв. |                          | СДФ,<br>мас.%   | МДФ, г | СДФ,<br>мас.%   | МДФ, г |
| Веско-Гранітик<br>(67,5)       | 5,0                                      | 5,5             | 1,10                     | 70,4  | 32,4   | 67,6  | 11,7   |
| Santon-L (57,0)                | 7,5                                      | 8,0             | 1,07                     | 72,4  | 51,3   | 74,8  | 30,2   |

### Висновки:

1. Як і більшість вітчизняних глин, що застосовуються в технології санітарної кераміки, глина Santon-L за мінералогічним складом відноситься до групи гілрослюдисто-каолінітових, проте відзначається грубодисперсністю та меншою ефективною питомою поверхнею.

2. За характеристиками деформаційних процесів коагуляційна структура суспензії Santon-L відзначається розвитком швидкої еластичної деформації  $\epsilon_0$ , що вказує на переважну кількість найбільш міцних контактів частинок за типами кут-кут, кут-ребро, ребро-ребро. При однаковій концентрації дисперсної фази (60,0 мас. %) превалювання таких контактів поряд з меншим шаром зв'язуваної води (завдяки меншій ефективній питомій поверхні) обумовлюють в випадку Santon-L значно більший умовний модуль деформації  $E_{\epsilon}$ , що відображує ступінь молекулярної взаємодії та енергії зв'язку частинок. Із зменшенням концентрації дисперсної фази та збільшенням кількості іммобілізованої води зростає товщина водних прошарків між частинками та зменшується  $E_{\epsilon}$ .

3. За реологічними властивостями водна система Santon-L при однаковій з Веско-Гранітик концентрації дисперсної фази та вологості відзначається суттєво меншою бінгамівською в'язкістю  $\eta_m^X$  і відповідно більшою плинністю, що підтверджується результатами технологічних тестувань.

4. Практично важливим для застосування Santon-L є забезпечення не обхідної плинності суспензії при меншій вологості та збільшенні концентрації дисперсної фази і маси відливки – особливо при литві виробів під тиском.

**Список літератури:** 1. Сальник В.Г. Сировинна база виробництва санітарно-будівельної кераміки / В.Г. Сальник, В.А. Свідерський, Л.П. Черняк // Наукові вісті Національного технічного університету України "Київський політехнічний інститут". – К.: НТУУ "КПІ". – 2006. – № 3(47). – С. 135 – 138. 2. Сальник В.Г. Совершенствование технологических процессов производства санстройизделий на ЗАО "Славутский комбинат "Будфарфор" / В.Г. Сальник, В.В. Мочурад // Збірник Будівельні матеріали, виробы та санітарна техніка. – 2008. – № 3 (30). – С. 81 – 84. 3. Fiebiger W. New developments of clay components for high pressure casting bodies for sanitaryware / W. Fiebiger // International Ceramics Journal. – 1997. – Vol. XV. – № 5. 4. Михалев В.В. Каолины для производства санитарно-технических изделий / В.В. Михалев, А.С. Власов // Стекло и керамика. – 2006. – № 9. – С. 17 – 21. 5. Черняк Л.П. Критерії вибору сировини для сучасного виробництва будівельної кераміки / Л.П. Черняк // Строительные материалы и изделия. – 2003. – № 1 – С. 2 – 4, № 2. – С. 6 – 8. 6. Круглицкий Н.Н. Физико-химические основы регулирования свойств дисперсий глинистых минералов / Н.Н. Круглицкий. – К.: Наукова думка, 1968. – 320 с. 7. Ничипоренко С.П. Физико-химическая механика дисперсных минералов / [С.П. Ничипоренко, Н.Н. Круглицкий, А.А. Панасевич, В.В. Хилько]; под общ. ред. Н.Н. Круглицкого. – К.: Наукова думка, 1974. – 246 с. 8. Ходаков Г.С. Реология суспензий. Теория фазового течения и ее экспериментальное обоснование / Г.С. Ходаков // Рос. хим. ж. (Ж. Рос. хим. об-ва им. Д.И. Менделеева). – 2003. – Т. XLVII. – № 2. – С. 33 – 44.

Надійшла до редколегії 25.02.10